

# Краткие сообщения

01

## Импедансные условия резонансного прохождения и резонансной локализации волн в барьерных структурах

© Е.А. Нелин

Национальный технический университет Украины „Киевский политехнический институт“,  
03056 Киев, Украина  
e-mail: ye.nelin@gmail.com

(Поступило в Редакцию 27 октября 2009 г. В окончательной редакции 27 апреля 2010 г.)

Сформулированные импедансные условия резонансного прохождения и резонансной локализации волн в барьерных структурах. Получены аналитические выражения для собственных значений различных барьерных структур.

Слоистые барьерные структуры используются во многих научных и технических приложениях, они составляют основу наноэлектроники. Особую значимость имеют резонансное прохождение (РП), в частности резонансное туннелирование (РТ), и резонансная локализация (РЛ) волн в таких структурах. Традиционно барьерные задачи решаются в матричной форме сшиванием решений на границах из условий непрерывности функции, характеризующей волну, и ее производной [1]. В [2,3] такой подход, а также метод многолучевой интерференции использованы для моделирования двухбарьерной гетероструктуры и квантовой ямы с прямоугольными стенками сложной формы. В импедансном подходе [4] граничные условия учитываются автоматически, что существенно упрощает решение. В настоящей работе на основе такого подхода сформулированы импедансные условия РП и РЛ (РПЛ), а также получены аналитические выражения для собственных значений различных барьерных структур.

Неоднородности возмущений падающей волны на неоднородностях структуры вызывают многократные отражения. В результате интерференции отраженных волн внутри структуры формируется стоячая волна, резонансная при РПЛ. Резонансная стоячая волна компенсирует неоднородности возмущений падающей волны [4].

Обозначим через  $Z_+$  и  $Z_-$  входные импедансы соответственно в прямом и обратном направлении в любой точке дисперсивных сред структуры. Для РПЛ эти импедансы должны быть согласованы. Поскольку прохождению волны соответствует неравенство нулю активных составляющих импедансов  $Z_{\pm}$ , а локализации — равенство, импедансные условия РПЛ имеют вид:

$$Z_+ = Z_-, \quad \text{Re}Z_{\pm} \neq 0, \quad (1)$$

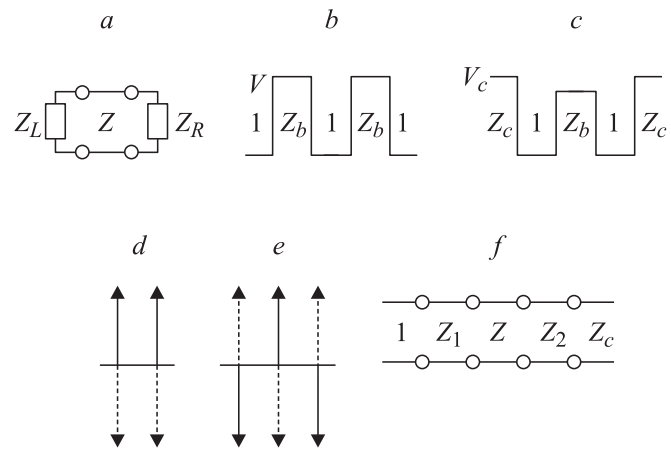
$$\text{Im}Z_+ = \text{Im}Z_-, \quad \text{Re}Z_{\pm} = 0, \quad (2)$$

где  $\text{Re}Z_{\pm}$  и  $\text{Im}Z_{\pm}$  — активные и реактивные составляющие импедансов  $Z_{\pm}$ .

В приведенной на рис. 1, *a* обобщенной модели барьерной структуры отрезок линии передачи соответствует одному из внутренних слоев, а импедансы  $Z_{R,L}$  эквивалентны остальным слоям и внешней среде. При выполнении (1) и (2) имеем

$$A = Z \frac{Z_R - Z_L}{Z^2 - Z_R Z_L}, \quad (3)$$

где  $A = \text{thika}$ ,  $k$  и  $a$  — волновое число и толщина слоя. Если  $Z_R = Z_L = Z$ , значение  $A$  — любое.



**Рис. 1.** Модели барьерных структур: *a* — обобщенная модель барьерной структуры,  $Z$  — импеданс внутреннего слоя,  $Z_{R,L}$  — эквивалентные входные импедансы; *b* — симметричная двухбарьерная структура,  $V$  — высота барьера, 1 и  $Z_b$  — нормированные импедансы внешней среды, ямы и барьера; *c* — двухъямная структура,  $V_c$  и  $Z_c$  — потенциал и импеданс внешней среды; *d* — двойная  $\delta$ -неоднородность; *e* — тройная  $\delta$ -неоднородность; *f* — трехслойная структура,  $Z_{1,2}$  — импедансы внешних слоев.

## Симметричные барьерные структуры

Импедансы  $Z_R$  и  $Z_L$  комплексно сопряжены. Условие (3) примет вид

$$A = \frac{2iZ\text{Im}Z_R}{Z^2 - |Z_R|^2}. \quad (4)$$

Собственные значения РП симметричной двухбарьерной структуры (рис. 1, *b*) определяются выражениями

$$\text{tg} ka = \frac{2 \text{ctg} k_b b}{(Z_b + Z_b^{-1})}$$

и  $\text{tg} k_b b = 0$  (собственные значения барьера), где  $k_b$  и  $b$  — волновое число и толщина барьера. В случае квантово-механической среды

$$Z_b = \sqrt{m(E - V)/m_b E},$$

где  $m$  и  $m_b$  — эффективная масса электрона в области ямы и барьера;  $E$  — энергия электрона. При  $E < V$  собственные значения соответствуют РТ.

Для двухъямной структуры (рис. 1, *c*) при РЛ ( $E < V_c$ ) и РП ( $E > V_c$ ), согласно (4), учитывая, что средний слой — барьер, имеем

$$B = \frac{2Z_b(1 - Z_c A)(Z_c - A)}{Z_b^2(1 - Z_c A)^2 + (Z_c - A)^2},$$

$$B = \frac{2Z_b(Z_c^2 - 1)A}{Z_b^2(1 - Z_c^2 A^2) - (Z_c^2 - A^2)}, \quad (5)$$

где  $B = \text{th} i k_b b$ , а  $A$  соответствует яме. При  $E > V$  необходимо учесть собственные значения барьера ( $\text{tg} k_b b = 0$ ), а при  $Z_c = Z_b$  — собственные значения ямы ( $\text{tg} ka = 0$ ).

Двухъямный потенциал обычно рассматривают при  $V_c = \infty$  и  $E < V$ . Исходя из (5) получим уравнение

$$\text{tg}^2 ka + 2\xi \text{ctg} \chi b \text{tg} ka + \xi^2 = 0$$

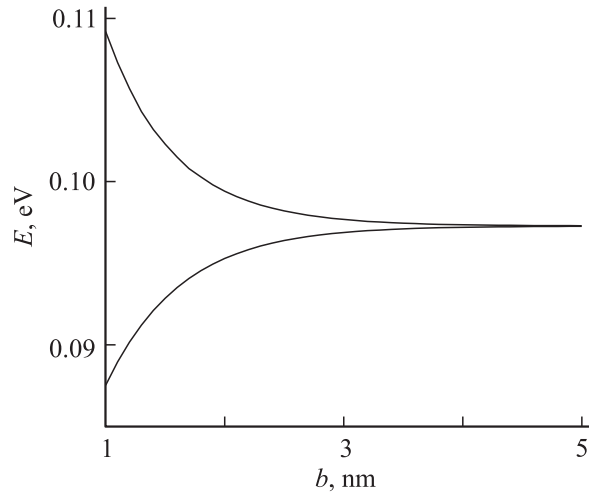
с решениями  $\text{tg} ka = -\xi \text{cth}(\chi b/2)$  и  $\text{tg} ka = -\xi \text{th}(\chi b/2)$ , где  $\xi = |Z_b|^{-1}$ ;  $\chi = |k_b|$ . При  $m_b = m$  имеем  $\xi = k/\chi$  и решения совпадут с [5].

Если  $V_c = V$ ,  $E < V$  и  $m_c = m_b = m$ , где  $m_c$  — эффективная масса электрона во внешней среде, то  $Z_c = Z_b$  и условие для собственных значений РЛ примет вид

$$\text{cth} \chi b = \frac{1}{2} \left( \frac{\xi^{-1} \text{tg} ka + 1}{\xi \text{tg} ka - 1} + \frac{\xi \text{tg} ka - 1}{\xi^{-1} \text{tg} ka + 1} \right). \quad (6)$$

В случае толстого барьера, когда  $\chi b \geq 2$ ,  $\text{cth} \chi b \approx 1$  и из (6) следует известное выражение для потенциальной ямы:

$$\text{tg} ka = \frac{2}{\xi - \xi^{-1}} = \frac{2\sqrt{E(V - E)}}{2E - V}.$$



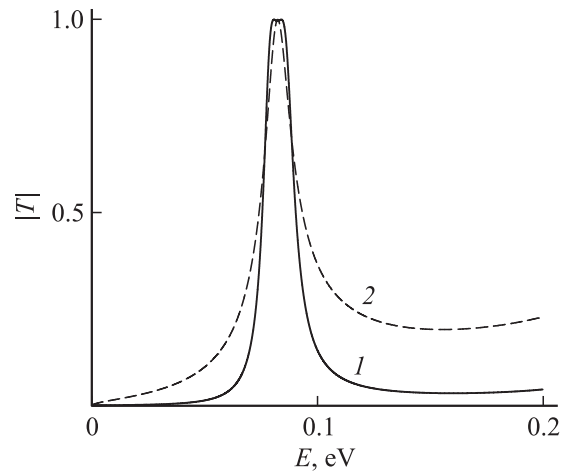
**Рис. 2.** Зависимости уровней двухъямной структуры.  $V_c = V = 0.2$  eV,  $m_c = m_b = m = m_0$ , где  $m_0$  — масса электрона,  $a = 1$  nm.

Зависимости на рис. 2 соответствуют (6) и иллюстрируют переход собственных значений двухъямного потенциала к собственному значению потенциальной ямы.

При  $V_c < E < V$  потенциал на рис. 1, *c* моделирует симметричную однобарьерную структуру с РТ [4].

Условием (5) соответствует равенство нулю знаменателя и числителя выражения для коэффициента отражения от структуры. Найденный из (5) коэффициент отражения при нормировании к  $Z_c$  совпадает с [4].

При моделировании структур широко используется  $\delta$ -неоднородность ( $\delta$ -барьер или  $\delta$ -яма). Дельта-неоднородность моделирует высокий тонкий барьер или



**Рис. 3.** Зависимости коэффициентов прохождения тройной и двойной  $\epsilon$ -неоднородностей (кривые 1 и 2). Высота  $\epsilon$ -барьера 1 eV, ширина  $\epsilon$ -ямы 0.2 nm; глубина  $\epsilon$ -ямы 1.24 и 1.60 eV, толщина  $\epsilon$ -барьера 0.4 и 0.2 nm,  $a = 2$  и  $a = 1.93$  nm соответственно для тройной и двойной  $\epsilon$ -неоднородности, эффективная масса электрона —  $m_0$ .

глубокую узкую яму, которые обозначим как  $\varepsilon$ -неоднородности. Потенциал квантово-механической  $\delta$ -неоднородности площадью  $a$  и шириной  $\Delta \rightarrow 0$  равен  $V = a/\Delta \rightarrow \infty$ , а нормированный входной импеданс —  $Z_\delta = 1 + 2i\eta$ , где  $\eta = \pm am/\hbar^2 k$ , верхний знак соответствует  $\delta$ -барьеру.

Для двойной  $\delta$ -неоднородности (рис.1, *d*) с идентичными неоднородностями исходя из (4) имеем  $\operatorname{tg} ka = -\eta^{-1}$ . Здесь  $a$  — расстояние между  $\delta$ -неоднородностями. В случае разных по характеру неоднородностей с одинаковой площадью, согласно (3),  $\operatorname{tg} ka = 0$ . Для тройной  $\delta$ -неоднородности (рис. 1, *e*) с идентичными крайними неоднородностями и средней противоположного характера и удвоенной площади исходя из (4) имеем  $\operatorname{tg} ka = -1/(2\eta + \eta^{-1})$  и  $\operatorname{tg} ka = 0$ .

Рис. 3 иллюстрирует РТ сквозь одиночный барьер в тройной и в двойной  $\varepsilon$ -неоднородности. Собственные значения тройной  $\varepsilon$ -неоднородности равны 0.081 и 0.082 eV, а ее  $\delta$ -модели — 0.082 и 0.094 eV.

## Несимметричные барьерные структуры

Модель на рис. 1, *f* обобщает различные несимметричные трехслойные структуры. Исходя из (3) получим

$$A = Z \frac{Z_2(Z_1 + A_1)(Z_c - Z_2A_2) - Z_1(1 + Z_1A_1)(Z_2 - Z_cA_2)}{Z^2(Z_1 + A_1)(Z_2 - Z_cA_2) - Z_1Z_2(1 + Z_1A_1)(Z_c - Z_2A_2)}, \quad (7)$$

где  $A_{1,2}$  — параметры слоев с индексами „1“ и „2“. В случае симметричной двухбарьерной структуры с несимметричными барьерами  $Z_2 = Z_1$ ,  $Z_c = 1$  и (7) совпадает с [6].

Для несимметричной однобарьерной структуры  $a_2 = 0$  и

$$A = Z \frac{Z_c(Z_1 + A_1) - Z_1(1 + Z_1A_1)}{Z^2(Z_1 + A_1) - Z_1Z_c(1 + Z_1A_1)}.$$

При туннелировании  $A$  — действительная величина. Из этого условия имеем

$$\operatorname{tg} k_1 a_1 = Z_1 \sqrt{\frac{(Z_c - 1)(|Z|^2 + Z_c)}{(Z_1^2 - Z_c)(|Z|^2 + Z_1^2 Z_c)}}.$$

В наиболее простой структуре  $Z_c = Z_1$ . При этом

$$\operatorname{tg} k_1 a_1 = \sqrt{\frac{Z_1(|Z|^2 + Z_1)}{|Z|^2 + Z_1^3}},$$

что совпадает с [7].

## Кристаллы. Кристаллоподобные структуры

Зонные свойства кристаллов и кристаллоподобных структур (КС) обусловлены РП в разрешенных зонах и реактивным волновым характером — в запрещенных.

Рассмотрим неограниченную КС, образованную чередующимися слоями с дисперсивным и в общем случае реактивным характером сред. Базовая ячейка такой КС — двухбарьерная структура (рис. 1, *b*). Пусть  $Z_R$  и  $Z_L$  — входные импедансы соответственно на левой и правой границе барьерного слоя КС. Связав импедансы  $Z_R$  и  $Z_L$ , исходя из (4) получим  $Z_R = \sqrt{\psi} + i\eta$ , где  $\psi = 1 - \eta^2 - 2\eta \operatorname{ctg} ka$ ;

$$\eta = \frac{1 - Z_b^2}{2(\operatorname{ctg} ka + Z_b \operatorname{ctg} k_b b)}.$$

При  $\psi < 0$ , чему соответствует  $|\cos ka + \eta \sin ka| > 1$ , импеданс  $Z_R$  мнимый. Эти интервалы отвечают запрещенным зонам. Уровни дефектов и поверхностные уровни КС определяет условие РЛ (4).

Импедансные условия РПЛ позволяют получить аналитические выражения для собственных значений различных барьерных структур.

## Список литературы

- [1] Борн М., Вольф Э. Основы оптики. М.: Наука, 1973. 720 с.
- [2] Дымников В.Д., Константинов О.В. // ФТП. 1994. Т. 28. Вып. 5. С. 844–856.
- [3] Дымников В.Д., Константинов О.В. // ФТП. 1995. Т. 29. Вып. 1. С. 133–139.
- [4] Нелин Е.А. // УФН. 2007. Т. 177. № 3. С. 307–313.
- [5] Basdevant J.-T. Lectures on quantum mechanics. NY: Springer, 2007. 308 p.
- [6] Нелин Е.А. // Письма в ЖТФ. 2009. Т. 35. Вып. 10. С. 6–11.
- [7] Нелин Е.А. // ЖТФ. 2008. Т. 78. Вып. 4. С. 95–98.